

# The effect of graphene Oxide/Cobalt nanocomposite on the Rheological properties of drilling fluid

Mahboobeh Ghaemi<sup>1</sup>, Saba Mosivand<sup>\*1</sup>, Keivan Javanmard<sup>2</sup>

<sup>1</sup>Department of Physics, Faculty of Basic Sciences, Lorestan University, Khorram Abad, Iran

<sup>2</sup>Department of Chemistry, Faculty of Basic Sciences, Lorestan University, Khorram Abad, Iran

Received: 06.08.2021 Final revised: 27.01.2023 Accepted: 12.02.2023

Doi link: [10.22055/jrmbs.2023.18132](https://doi.org/10.22055/jrmbs.2023.18132)

## Abstract

Graphene oxide/cobalt nanocomposite was synthesized using the electrooxidation method and its structural and magnetic properties were specified. The effect of the produced nanocomposite on the rheological properties of drilling fluids containing bentonite and natural gum was investigated. The nanocomposite was characterized using XRD, FT-IR, SEM and VSM. XRD results confirmed the formation of graphene oxide/cobalt nanocomposite. The SEM images show the scaly shape of cobalt nanoparticles substituted on the graphene oxide sheets. Based on VSM results, the saturation magnetization, remanence magnetization and coercive field were determined to be 167.04 emu/g, 9.94 emu/g, and 142.5 Oe, respectively. In order to investigate the effect of graphene oxide/cobalt nanocomposite on the rheological properties of two types of fluids containing bentonite and natural gum, 0.1, 0.3, and 0.5 gr of nanocomposite were added to drilling fluids and their rheological properties were measured using an eight-speed viscometer at three temperatures of 23°C, 50°C and 70°C. Graphene oxide/cobalt nanocomposite in the bentonite samples increases the apparent viscosity, plastic viscosity, yield point, and gel strength up to 108 cp, 17 cp, 165 lb/100ft<sup>2</sup>, and 170 lb/100ft<sup>2</sup>, respectively, and decreases these parameters in the samples containing natural gum down to 70 cp, 32 cp, 42 lb/100ft<sup>2</sup>, and 5 lb/100ft<sup>2</sup>, respectively.

**Keywords:** Graphene oxide/cobalt nanocomposite, Drilling fluid, Bentonite, Natural gum, Rheological properties

\* Corresponding Author: Mosivand.S@lu.ac.ir

## اثر نانوکامپوزیت اکسید گرافن/کبالت بر خواص رئولوژی سیال حفاری

محبوبه قائمی<sup>۱</sup>، صبا موسیوند<sup>۱\*</sup>، کیوان جوانمرد<sup>۲</sup>

<sup>۱</sup>گروه فیزیک، دانشکده علوم پایه، دانشگاه لرستان، خرم‌آباد، ایران

<sup>۲</sup>گروه شیمی، دانشکده علوم پایه، دانشگاه لرستان، خرم‌آباد، ایران

دریافت: ۱۴۰۱/۰۵/۱۵ ویرایش نهایی: ۱۴۰۱/۱۱/۰۷ پذیرش: ۱۴۰۱/۱۱/۰۷

Doi link: [10.22055/jrms.2023.18132](https://doi.org/10.22055/jrms.2023.18132)

### چکیده

نانوکامپوزیت اکسید گرافن/کبالت با روش الکترواکسیداسیون ساخته شد و مورد مشخصه‌یابی ساختاری و مغناطیسی قرار گرفت. سپس اثر نانوکامپوزیت تولید شده بر خواص رئولوژی دو نوع سیال حفاری محتوی بتونیت و صمغ طبیعی بررسی شد. نانوکامپوزیت به‌دست آمده با استفاده از XRD، FT-IR، SEM و VSM مشخصه‌یابی شد. نتایج XRD تشکیل ساختار نانوکامپوزیت اکسید گرافن/کبالت را تأیید کرد. تصاویر میکروسکوپ الکترونی رویش نشان‌دهنده شکل پولکی نانوذرات کبالت است که بر روی صفحات اکسید گرافن جایگزینه شده‌اند. طبق نتایج حاصل از VSM، مغناطش اشباع  $167/0.4$  emu/g، پسماند مغناطیسی  $9/94$  emu/g و میدان واحداندگی  $142/5$  Oe تعیین شد. به‌منظور بررسی اثر نانوکامپوزیت اکسید گرافن/کبالت بر خواص رئولوژی دو نوع سیال حاوی بتونیت و صمغ طبیعی،  $1/0.3$  و  $0.5$  گرم از این نانوکامپوزیت به‌سیالات حفاری افزوده شد و خواص رئولوژی آنها با استفاده از دستگاه ویسکومتر هشت سرعته در سه دمای  $23/0$  و  $50/0$  و  $70/0$  درجه سانتیگراد مورد بررسی قرار گرفت. نانوکامپوزیت اکسید گرافن/کبالت در نمونه‌های بتونیتی باعث افزایش ویسکوزیتۀ ظاهری، ویسکوزیتۀ پلاستیک، نقطه واروی و استحکام ژله‌ای به‌ترتیب تا حدود مقادیر  $108$  cp،  $165$  lb/100ft<sup>2</sup>،  $17$  cp و  $170$  lb/100ft<sup>2</sup> و  $32$  cp،  $42$  lb/100ft<sup>2</sup> و  $70$  cp می‌شود. باعث کاهش این پارامترها به‌ترتیب تا حدود مقادیر  $5$  lb/100ft<sup>2</sup> و  $5$  cp می‌شود.

**کلیدواژگان:** نانوکامپوزیت اکسید گرافن/کبالت، سیال حفاری، بتونیت، صمغ طبیعی، خواص رئولوژی

مداوم از درون چاه به‌برون متقل شود. در چاه‌های عمیق از یک سیال برای خروج سنگریزه‌ها استفاده می‌شود که اصطلاحاً سیال حفاری و یا گل حفاری نامیده می‌شود. در واقع، گل حفاری سیالی است که با گردش در چاه و عبور از رشته‌های حفاری و مته از طریق فضای حلقوی بین دیواره چاه و لوله‌های حفاری، کندۀ‌های حاصل از حفاری را به سطح چاه حمل می‌کند و باعث تمیز شدن مته و خنک شدن آن می‌شود. این سیال از مهم‌ترین و اصلی‌ترین اجزاء در عملیات

### مقدمه

فناوری نانو تحول و پیشرفت شگرفی را در صنایع گوناگون ایجاد کرده است. از جمله حوزه‌هایی که فناوری نانو در آن تغییرات چشمگیری را ایجاد کرده است، صنایع بالادستی نفت است که شامل اکتشاف تا قبل از پالایشگاه می‌شود. به‌منظور دستیابی به سیال مخزن می‌بایست با استفاده از مته‌های دوار چاه‌هایی را از سطح زمین تا محل تجمع نفت حفر نمود. کندۀ‌ها و سنگریزه‌های حاصل از عملیات حفاری باید به‌طور

\* نویسنده مسئول: Mosivand.S@lu.ac.ir



در سال‌های اخیر پیشافت چشمگیری در ساخت نانوکامپوزیت‌های گوناگون با خواص فیزیکی و شیمیایی بهبود یافته، حاصل شده است. نانوکامپوزیت‌ها مواد مرکبی هستند که حداقل یکی از اجزای سازنده آنها در مقیاس نانو قرار دارد. اخیراً مطالعات متعددی در مورد کاربرد کامپوزیت‌ها در سیالات حفاری انجام شده است که از آن جمله می‌توان به ساختارهای اکسید گرافن/پلی‌اکریلیک آمید [۱۲]، کامپوزیت پلیمری محتوی سیلیکا [۱۳]، کامپوزیت هسته/پوسته سیلیکا/پلیمر [۱۴]، آکریلیک/سیلیکا [۱۵] اکسید روی/آکریلامید [۱۶]، پلی‌اتیلن گلیکول/سیلیکا [۱۷] و نانوکامپوزیت با ساختار هسته/پوسته بر پایه پلیمر و سیلیکا [۱۸] اشاره کرد. وجود گرافن در نانوکامپوزیت‌ها موجب افزایش استحکام مکانیکی، پایداری حرارتی بهتر، فعالیت الکتروشیمیایی و هدایت الکتریکی مناسب می‌شود.

کنترل خواص رئولوژی سیال حفاری به عنوان یکی از عوامل اساسی در موفقیت‌آمیز بودن عملیات حفاری به شمار می‌رود. با عبور سیال حفاری از درون لوله‌های حفاری، خواص رئولوژی آنها تحت تغییرات چشمگیری قرار می‌گیرد. عواملی مانند دما، فشار و زمان نیز بر ویژگی‌های رئولوژی سیال حفاری اثرگذار هستند.

در این پژوهش، ابتدا نانوکامپوزیت اکسید گرافن/کبالت به روش الکترواکسیداسیون [۲۸-۱۹] ساخته می‌شود و ویژگی‌های ساختاری و مغناطیسی آن مورد بررسی قرار خواهد گرفت. سپس مقادیر متفاوت از نانوکامپوزیت ساخته شده به نمونه‌های گوناگون گل حفاری حاوی بتونیت و صمغ طبیعی افزوده شده و با استفاده از دستگاه فراصوت به طور کامل و یکنواخت در آن پخش و پراکنده می‌شود و در نهایت رفتار رئولوژی نانو سیالات تولید شده مطالعه می‌شود.

حفاری به شمار می‌رود، به طوری که بدون آن فرایند حفاری عملاً غیرممکن است. سیال حفاری موجب کاهش اصطکاک میان دیواره چاه و ادوات حفاری شده و پایداری قسمت‌های لوله‌گذاری نشده چاه را نیز حفظ می‌کند. علاوه بر این، باید دارای ویژگی‌های رئولوژی مطلوب و چگالی و ویسکوزیته<sup>۱</sup> مناسب جهت حمل و انتقال کنده‌های حفاری به سطح چاه باشد. در صورت قطع عملیات حفاری، سیال حفاری باید به حالت ژلاتینی درآید تا از تنشین شدن کنده‌های حفاری ممانعت به عمل آید. علاوه بر این، سیال ژلاتینی باید این قابلیت را داشته باشد که با کمترین تنفس از حالت ژلاتینی به حالت روان تبدیل شود. معمولاً به طور مدام موادی تحت عنوان وزن‌دهنده به سیال حفاری اضافه می‌شود و باعث تولید مقادیر زیادی پسماند سیال و جامد می‌شود. موادی که با افزودن آنها به سیال حفاری، خاصیت ژلاتینی آن افزایش می‌یابد، اصطلاحاً ویسکوزیفایر<sup>۲</sup> نام دارند. در واقع، ویسکوزیفایر نوعی اصلاح کننده خواص رئولوژی است که برای افزایش ویسکوزیته استفاده شده و به عنوان قوام‌دهنده یا غلیظ کننده سیال حفاری عمل می‌نماید. افزایش ویسکوزیته سیال حفاری به منظور افزایش قدرت آن در حمل و بالا آوردن کنده‌های حاصل از عملیات حفاری مهم است. برای دستیابی به ویژگی‌هایی همچون چگالی مناسب، خورنده‌گی کم، روان‌کاری و خاصیت ژلاتینی مطلوب، نانومواد به عنوان مواد افزودنی به سیال حفاری به کار برده می‌شوند. سیال حفاری محتوی نانومواد، سیالی است که حداقل یک ماده در ابعاد نانو با اندازه ۱ تا ۱۰۰ نانومتر داشته باشد. با افزایش این نانومواد، خواص سیال پایه تحت تأثیر قرار می‌گیرد [۱۱-۱]. این سیال دارای خواص رئولوژی مطلوب، پایداری مناسب و پاسخگوی نیازهای عملیات حفاری است.

<sup>2</sup> Viscosifier

<sup>1</sup> Viscosity

۲۵۰ml محتوی محلول الکترولیت است، در فاصلهٔ ۲cm از یکدیگر قرار گرفته‌اند. این مجموعه به یک منبع ولتاژ DC مدل PHYWE 11709.93 جهت برقراری جریان و یک آوومتر برای نمایش مقدار ولتاژ اعمال شده متصل گردید. با توجه به آزمایشات اولیه انجام شده، زمان انجام واکنش ۹۰ دقیقه و ولتاژ مطلوب ۲۳ ولت انتخاب شد. محلول الکترولیت در ابتدا صورتی رنگ و دارای pH اولیه پنج می‌باشد. با شروع واکنش‌ها رنگ محلول به مرور زمان سیاه می‌شود و این تیرگی تا پایان آزمایش حفظ می‌شود و در نهایت به رنگ قهوه‌ای روشن درمی‌آید. پس از اتمام زمان ۹۰ دقیقه، جریان الکتریکی متصل به سلول الکتروشیمیایی قطع گردید. رسوب حاصل از محلول جدا شده و چندین بار با آب مقطر شستشو داده شد و در دمای اتاق خشک شد. در شکل ۱ نمایی از سلول الکتروشیمیایی متصل به منع تغذیه مشاهده می‌شود. در ابتدای آزمایش با انحلال نمک سولفات کبالت در آب، یون‌های کبالت و سولفات وارد محلول می‌شوند. بعد از اعمال ولتاژ، مولکول‌های آب به یون‌های هیدروژن و هیدروکسیل تجزیه می‌شوند. یون‌های هیدروکسیل در خلاف جهت میدان الکتریکی به سمت آند با بار مثبت رفتند و با ورقه‌های گرافیت برخورد می‌کنند و باعث اکسایش در لبه‌ها و منبسط شدن ورقه‌های گرافیت از هم می‌شوند. اکسید و هیدروکسید کردن لبه‌های گرافیت منجر به باز شدن ورقه‌ها از هم می‌شود. از طرفی یون‌های سولفات با بار منفی که در خلاف جهت میدان الکتریکی حرکت می‌کنند بین صفحات گرافیت بازشده وارد شده و فرآیند کاهش اتفاق می‌افتد و یون سولفات به گازهای  $\text{SO}_2$  و  $\text{O}_2$  تبدیل می‌شود. نیروی وارد شده از گازهای  $\text{SO}_2$  و  $\text{O}_2$  بین صفحات، باعث جداشده‌گی ورقه‌های گرافیت می‌شود. در این مرحله صفحات گرافن لایه‌برداری شده

## کارهای آزمایشگاهی ساخت نانوکامپوزیت اکسیدگرافن/کبالت به روش الکترواکسیداسیون

در این پژوهش به‌منظور ساخت نانوکامپوزیت اکسیدگرافن/کبالت به روش الکترواکسیداسیون از یک سلول الکتروشیمیایی شامل دو الکترود، آند از جنس گرافیت و کاتد از جنس نیکل، درون محلول آبی الکترولیت محتوی سولفات کبالت هفت آبه،  $(\text{Co}(\text{SO}_4)_2 \cdot 7\text{H}_2\text{O})$  با غلظت ۱٪ مولار استفاده شد. پودر سولفات کبالت ۷٪ مورد استفاده در این پژوهش از شرکت یوسی‌بی (ucb) بلژیک خریداری شده است. برای آماده‌سازی الکترودهای آند و کاتد، دو قطعه گرافیت و نیکل، هر کدام به ابعاد  $1\text{ cm} \times 2\text{ cm}$  برش داده شد. به‌منظور برطرف کردن آلودگی‌های احتمالی روی سطح الکترودها و رفع ناخالصی‌ها، از سونش مکانیکی با استفاده از سنباده با دانه‌های ریز و امواج فرماصوت استفاده شد. سونش مکانیکی با استفاده از سنباده فقط برای الکترود کاتد از جنس نیکل انجام شد و برای گرافیت به علت تخریب ساختار آن توسط سنباده، سونش مکانیکی انجام داده نشد و فقط از سونش فرماصوت استفاده گردید. به‌منظور سونش با امواج فرماصوت، الکترودها درون آب مقطر به مدت دو دقیقه در دمای اتاق، درون حمام فرماصوت مدل PARSONIC 2600S قرار گرفته‌اند و کاملاً سونش شده و آماده ماسک‌گذاری گردیدند. جهت اتصال الکترودها به منع تغذیه و برقراری جریان الکتریکی لازم در سلول الکتروشیمیایی، یک رشتہ سیم مسی با استفاده از چسب نواری روی یک سطح از هر الکترود قرار گرفت و سطح دیگر الکترودها برای تماس با محلول الکترولیت، آزاد در نظر گرفته شد. سپس الکترودها در سلول الکترواکسیداسیون مورد استفاده که یک بشر

MDKB VSM مدل از شرکت مغناطیس دقيق کویر، در دانشگاه کاشان صورت گرفت.

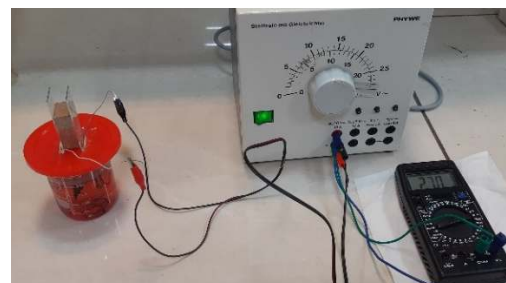
### تهیه سیال حفاری حاوی نانوکامپوزیت اکسید گرافن/کبالت

در این پژوهش دو نوع سیال محتوی بتنونیت و صمغ طبیعی که از ویسکوزیفایرها مورد استفاده در سیال حفاری می‌باشند، تهیه شدند.

برای تهیه سیال حاوی بتنونیت و صمغ طبیعی، ۱۲,۵ گرم از هر یک از این مواد به ترتیب به ۲۵ میلی لیتر آب مقطر و آب نمک اشباع شده افزوده شد. برای هر یک از ویسکوزیفایرها بتنونیت و صمغ طبیعی، سه نانوسيال مختلف با افزودن ۰,۱، ۰,۳ و ۰,۵ گرم نانوکامپوزیت اکسید گرافن/کبالت به سیال پایه تهیه شد.

به منظور پراکندگی مطلوب نانوکامپوزیت در سیال پایه و ممانعت از تهشیین آنها از امواج فرا صوت استفاده شد. سپس سیال حاصل به مدت ۳۰ دقیقه با همزدن هم زده شد. لازم به ذکر است که تمام مراحل آزمایش در دمای محیط آزمایشگاه انجام شد. پس از آماده سازی سیال، برای تعیین اسیدی و بازی بودن سیال، مقدار اندازه گیری و داده ها ثبت گردید. برای اندازه گیری وزن مخصوص (بر حسب پوند) بر فوت مکعب و یا پوند بر گالن) که یکی از خواص سیالات است، از ترازوی گل ساخت شرکت OFITE واقع در شرکت سیالات حفاری پارس تهران استفاده شد. علاوه بر این، خواص رئولوژی نمونه سیالات حفاری با استفاده از ویسکومتر سرعته ساخت شرکت OFITE مدل ۸۰۰، واقع در شرکت سیالات حفاری پارس تهران، در سرعتهای ۳، ۶، ۱۰۰، ۳۰۰ و ۶۰۰ دور بر دقیقه در سه دما شامل دمای محیط ۲۳، ۵۰ و ۷۰ درجه سانتی گراد مورد بررسی قرار گرفت.

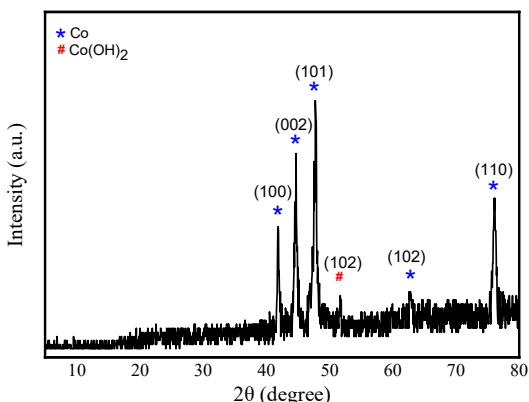
به صورت گرافن کم لایه (گرافن با تعداد لایه های بین ۳ تا ۱۰ لایه) وارد محلول شده و رنگ محلول سیاه می شود و این تیرگی تا پایان آزمایش باقی می ماند. الکترون های آزاد شده از فرآیند کاهش سولفات روی صفحات گرافن نشسته و به این ترتیب گرافن دارای بار منفی می شود و پس از بهدام انداختن یون های  $\text{Co}^{2+}$  کامپوزیت گرافن-کبالت روی کاتد تشکیل می شود. لازم به ذکر است که تعدادی از یون های  $\text{Co}^{2+}$  با یون های  $\text{OH}^-$  واکنش داده و منجر به شکل گیری هیدروکسید کبالت می شوند. پس از سپری شدن حدود ۷۰ دقیقه از آزمایش، درصد زیادی از صفحات سیاه رنگ گرافن موجود در محلول، با نانوذرات به هم پیوسته کبالت ترکیب شده و نانوکامپوزیت مغناطیسی گرافن-کبالت تشکیل می شود.



شکل ۱. نمایی از سلول الکتروشیمیایی متصل به منع تغذیه مورد استفاده در ساخت نانوکامپوزیت اکسید گرافن/کبالت.

به منظور بررسی و مطالعه اندازه و شکل نانوکامپوزیت ساخته شده از دستگاه میکروسکوپ الکترونی روبیشی SEM مدل MIRA3-LM در آزمایشگاه مرکزی دانشگاه لرستان استفاده شد. تشخیص نوع ساختار و شناسایی ماهیت محصولات تولید شده به وسیله دستگاه پراش پرتو ایکس، XRD مدل pro X Pert pro در آزمایشگاه مرکزی دانشگاه کاشان و نیز دستگاه FT-IR مدل Spectrum RX1 شرکت Perkin Elmer انجام شد. مشخصه یابی خواص مغناطیسی نانوکامپوزیت ساخته شده توسط دستگاه مغناطیسی سنج نمونه مرتضع شد.

امر ورقه‌ورقه شدن اکسیدگرافن طی فرآیند الکترواکسیداسیون می‌باشد، همچنین می‌تواند به‌این دلیل باشد که ذرات کبالت روی صفحات اکسیدگرافن لنگر اندخته‌اند و از دوباره جمع‌شدن صفحات اکسیدگرافن ورقه‌ورقه شده طی فرآیند کاهش جلوگیری می‌کنند. این امر مؤید آن است که اتصالی داخلی بین ذرات کبالت و صفحات اکسیدگرافن وجود دارد. علاوه‌براین، مقدار کم اکسیدگرافن و شدت پراش کم آن در مقایسه با کبالت، می‌تواند باعث ناپدیدشدن قله اکسیدگرافن شود [۲۹]. این نتایج با نتایج حاصل از تحقیقات کوتی و همکاران [۳۰] و پاپاجورجیو و همکاران [۳۱] در توافق است. با استفاده از رابطه دبای‌شرر اندازه نانوبلورک‌های کبالت ۲۲/۱ نانومتر برآورد شد.



شکل ۲. الگوی XRD نانوکامپوزیت ساخته شده تحت ولتاژ ۲۳ ولت.

در این پژوهش به‌منظور درک بیشتر از ساختار نانوکامپوزیت ساخته شده در ولتاژ ۲۳ ولت از طیف‌سنجی مادون قرمز-تبديل فوریه استفاده شد. در شکل ۳ پیک‌های ۳۴۵۰، ۳۴۶۷، ۳۶۹۴، ۳۷۷۳ و ۲۶۴۴ بر سانتی‌متر مربوط به پیوند O-H یکی از پیوندهای مولکول آب می‌باشد. پیک ۱۶۲۹ بر سانتی‌متر نشان‌دهنده حالت ارتعاشی متقارن C-H گروه‌های CH<sub>2</sub> است. پیک ۱۶۲۹ بر سانتی‌متر به‌ترکیب آروماتیک

نمونه‌های سیال با حروف لاتین نام‌گذاری شدند. سیال‌های پایه حاوی بتونیت و صمغ طبیعی به‌ترتیب با حروف B و G و سیال‌های حاوی نانوذرات با حرف n و برای مشخص کردن دما نیز از حرف T استفاده شده است (جدول ۱).

جدول ۱. نمونه‌های سیال مختلف در این تحقیق.

نام نمونه	سیال
B	سیال پایه بتونیتی
G	سیال پایه صمغ طبیعی
n <sub>۱</sub>	۰/۵ گرم نانوذره + سیال پایه (G یا B)
n <sub>۲</sub>	۰/۳ گرم نانوذره + سیال پایه (B یا G)
n <sub>۳</sub>	۰/۱ گرم نانوذره + سیال پایه (G یا B)
T <sub>۱</sub>	دما ۲۳ درجه سانتی‌گراد
T <sub>۲</sub>	دما ۵۰ درجه سانتی‌گراد
T <sub>۳</sub>	دما ۷۰ درجه سانتی‌گراد

## نتایج و بحث

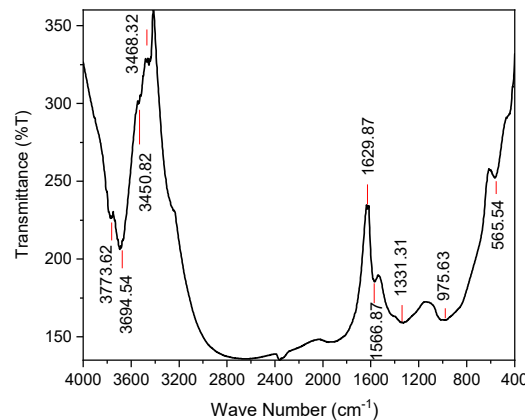
ماهیت ساختار بلوری نانوکامپوزیت تولید شده با استفاده از دستگاه XRD مورد مطالعه قرار گرفت. الگوی پراش پرتو X نمونه ساخته شده تحت ولتاژ ۲۳ ولت که در شکل ۲ ارائه شده است، دارای قله‌های تیز بوده که نشان‌دهنده ساختار بلوری مطلوب نانوکامپوزیت تهیه شده می‌باشد. با مقایسه الگوی پراش حاصل، با الگوی پراش موجود در کارت شماره JCPDS 00-005-0727 مشخص می‌شود که این نمونه دارای ساختار بلوری هگزاگونال کبالت با فرمول شیمیایی Co است. علاوه‌براین در مقایسه با کارت شماره JCPDS 00-030-0443 دیده می‌شود که مقداری هیدروکسیدکبالت نیز با ساختار بلوری هگزاگونال و با فرمول شیمیایی Co(OH)<sub>2</sub> در نمونه وارد شده است. در الگوی XRD هیچ پیک آشکاری از اکسیدگرافن ظاهرنشده و فقط پیک‌های مربوط به کبالت و هیدروکسیدکبالت دیده می‌شوند که دلیل این

اندازه ذرات تقریباً ۱۱۰ نانومتر و اندازه میانگین ضخامت صفحات اکسید گرافن حدود ۲۰ نانومتر برآورد شد.

بهمنظور حصول اطلاعات بیشتر از عناصر موجود در نمونه، از آنالیز پراش انرژی پرتو ایکس (EDX) استفاده شد. با توجه بهنتیجه حاصل از آنالیز EDX نمونه ساخته شده، حضور عناصر کربن، اکسیژن و کبالت تأیید می‌شود. درصدی از طیف بهعنصر طلا اختصاص داده شده است که در آماده‌سازی نمونه‌ها مورد استفاده قرار گرفته است. در اکسید گرافن مقدار نوعی نسبت اتمی کربن به اکسیژن می‌تواند بین ۱/۵ تا ۲/۵ باشد [۲۹]. در این تحقیق نسبت اتمی کربن به اکسیژن حدود ۲/۰۲ برآورد شد که مورد انتظار است. در نتیجه در نانوکامپوزیت ساخته شده، اکسید گرافن به عنوان فاز زمینه تشکیل شده است.

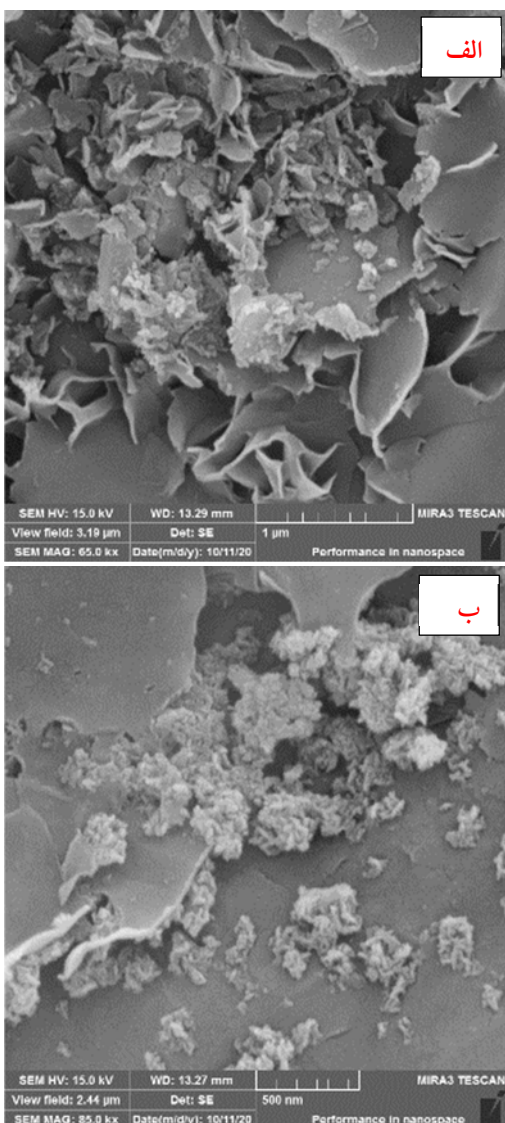
بهمنظور بررسی خواص مغناطیسی نانوکامپوزیت اکسید گرافن/کبالت تولید شده از دستگاه VSM در دمای اتاق استفاده گردید. شکل ۵ منحنی مغناطیش نمونه را بر حسب میدان مغناطیسی نشان می‌دهد. از عوامل مؤثر بر خواص مغناطیسی نانوکامپوزیت‌های مبتنی بر گرافن می‌توان به اندازه نانوذرات مغناطیسی و همچنین حضور گروه‌های عاملی اکسیژن‌دار در اکسید گرافن اشاره کرد. گروه‌های اکسیژنی با برهم زدن تقارن ساختاری گرافن می‌توانند سبب القای ممانه‌ای مغناطیسی و ارتقای خواص مغناطیسی ساختارهای از این دست شوند. تفاوت رفتارهای مغناطیسی اکسید گرافن در قیاس با گرافن خالص به حضور گروه‌های عاملی اکسیژنی و اثر آنها در به هم زدن تقارن زیر شبکه‌های گرافنی نسبت داده می‌شود. علاوه بر عامل‌های اکسیژنی، خروج گروه‌های اکسیژنی از شبکه گرافنی و جاهای خالی حاصل از آن نیز می‌تواند تقارن ساختاری را در شبکه‌های اکسید گرافن برهم زده و

C=C اختصاص دارد که می‌توان آن را به ارتعاشات اسکلتی حوزه‌های گرافیتی اکسید نشده نسبت داد. پیک ۱۵۶۶ بر سانتیمتر به ارتعاشات اسکلتی ورقه‌های گرافن نسبت داده می‌شود. پیک ۱۳۳۱ بر سانتیمتر ارتعاشات کششی O-H را نشان می‌دهد. پیک ۹۷۵ بر سانتیمتر حالت خمث Co-OH را نشان می‌دهد و این پیک تولید هیدروکسید کبالت را تأیید می‌کند. پیک ۵۶۵ بر سانتیمتر متناظر با ارتعاشات کششی Co-O به‌واسطه واکنش بین اکسیژن و کاتیون‌های موجود در مکان‌های هشت‌وجهی است که بر وجود درصد کمی از اکسید کبالت در نانوکامپوزیت دلالت دارد [۲۹].



شکل ۳ طیف FT-IR نانوکامپوزیت ساخته شده تحت ولتاژ ۲۳ ولت.

بهمنظور آگاهی از مورفولوژی سطح نمونه‌ها و نحوه پراکندگی نانوذرات کبالت روی صفحات اکسید گرافن از میکروسکوپ الکترونی روبشی، SEM استفاده شد. دو تصویر نوعی حاصل در ۴۴الف و ۴۴ب نمایش داده شده است. این تصاویر بیانگر شکل پولکی نانوذرات کبالت می‌باشد که این نانوپولک‌ها به‌یکدیگر پیوسته و یک ساختار گل مانند متخلخل را تشکیل می‌دهند که بر روی صفحات اکسید گرافن قرار گرفته و نانوکامپوزیت اکسید گرافن/کبالت را تشکیل می‌دهند. ورقه‌های اکسید گرافن نیز دارای ساختار دوبعدی و چند لایه بوده و چین و چروک‌هایی روی آنها دیده می‌شود.



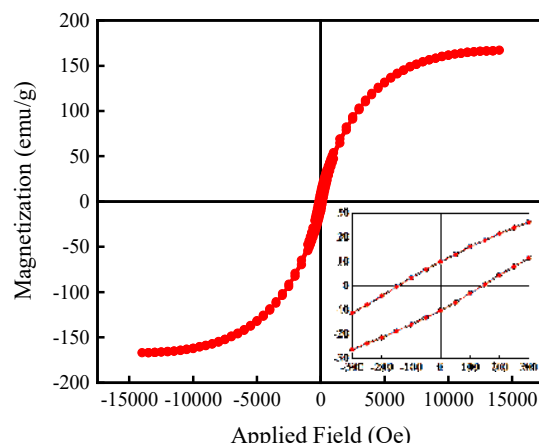
شکل ۴. الف و ب، تصاویر SEM نانوکامپوزیت ساخته شده تحت ولتاژ ۲۳ ولت با دو مقیاس متفاوت.

القای مؤلفه‌های مغناطیسی در ساختارهای از این دست را ممکن سازد [۳۲]. با توجه به داده‌های حاصل، مغناطش اشباع نمونه ۱۶۷,۰۴emu/g، پسماند مغناطیسی ۹,۹۴emu/g و میدان واحدندگی آن معادل ۱۴۲,۵Oe برآورد شد.

همان‌طور که پیش‌تر اشاره شد، در این پژوهش انواع مختلف سیال محتوی بنتونیت و صمغ طبیعی که از ویسکوزیفایرها مورد استفاده در سیال حفاری می‌باشند، تهیه و خواص رئولوژی آنها مطالعه شد.

بنتونیت یک ماده طبیعی است که از تجمع چند کانی رسی و تعدادی کانی غیر رسی تشکیل شده و قدرت شکل‌پذیری و تعلیق پذیری بالایی دارد. مهم‌ترین کانی تشکیل‌دهنده آن مونت موریلوبونیت است. بنتونیت آب را به خوبی در شبکه خود جذب می‌کند و دارای خاصیت تورم‌پذیری بالایی بوده و می‌تواند تا هشت برابر حجم اولیه متورم شود که در این شرایط چسبناک و ژلاتینی می‌شود. رنگ بنتونیت معمولاً سفید مایل به خاکستری و یا شیری و یا مغز پسته‌ای است که از دست دادن رطوبت باعث کم رنگ شدن آن می‌شود. از جمله مهم‌ترین کاربردهای بنتونیت می‌توان به سرد و لغازان کردن متة حفاری، تمیز کردن ته چاه و متة و نیز انتقال کنده‌ها به سطح زمین اشاره کرد که تمامی این اعمال به خواصی همچون لغزانندگی، گرانروی، وزن و مقاومت ژلی وابسته هستند [۵۶]. در این پژوهش بنتونیت شرکت باریت فلات ایران به عنوان یک ویسکوزیفایر گل حفاری مورد بررسی قرار گرفت.

خصوصیات رئولوژی و گرانروی گل حفاری از اصطلاحاتی مانند گرانروی ظاهري<sup>۱</sup> (AV)، گرانروی پلاستیک<sup>۲</sup> (PV)، نقطه واروی<sup>۳</sup> (YP) و استحکام ژله‌ای<sup>۴</sup> (GS) استفاده می‌شود. گرانروی پلاستیک در نتیجه اصطکاک مکانیکی حاصل از برخورد جامدات درون گل با یکدیگر، یا برخورد جامدات با مایعی که آنها را احاطه کرده و یا اصطکاک حاصل از حرکت لایه‌های مایع روی همدیگر ایجاد می‌شود، ولی این ویژگی بیشتر تحت تأثیر غلظت جامدات موجود در گل قرار دارد و انتظار می‌رود با افزایش وزن گل گرانروی پلاستیک نیز افزایش پیدا کند. واحد اندازه‌گیری گرانروی پلاستیک سانتیپواز (cp) است. در ترکیبات گل حفاری مقداری ذرات جامد وجود دارد که با مواد دیگر در فاز مایع پیوندهای الکتروشیمیایی برقرار می‌کنند. نقطه تسلیم عبارت است از مقاومتی که این مواد در برابر برش خوردن از خود بروز می‌دهند. در واقع نقطه تسلیم بیانگر نیروی چسبندگی و نیروهای الکترواستاتیکی بین ذرات می‌باشد. ویژگی دیگر که به عنوان تابعی از گرانروی پلاستیکی یا نقطه واروی است، گرانروی ظاهري نام دارد. گرانروی ظاهري با کمک دستگاه ویسکومتر در سرعت چرخشی ۶۰۰ دور در دقیقه اندازه‌گیری می‌شود و واحد اندازه‌گیری آن نیز سانتیپواز است. استحکام ژله‌ای بیانگر برشی است که یک گل باید در برابر وزن ذرات جامد درونش تحمل کند. استحکام ژله‌ای نشانگر خواص تیکسوترالپیک سیال می‌باشد. تیکسوترالپیک سیال عبارت است از توانایی سیال در تولید نیروی استحکام ژلاتینی با گذشت زمان (تمایل سیال به ژله‌ای شدن). نقطه واروی و نیروی استحکام ژله‌ای پارامترهایی برای اندازه‌گیری



شکل ۵. منحنی مغناطیسی بر حسب میدان مغناطیسی نانوکامپوزیت ساخته شده تحت ولتاژ ۲۳ ولت.

صمغ‌ها نیز گروه بزرگی از پلی ساکاریدها هستند که توانایی تولید محصولاتی با ویسکوزیته بالا در غلظت‌های پایین را دارند. صوغ‌ها را بر اساس ساختارشان به دو دسته صوغ‌های خطی و صوغ‌های انشعابی تقسیم بنده می‌کنند. از ویژگی‌های صوغ‌های خطی مانند صوغ زانتان و گوار می‌توان به افزایش بیشتر ویسکوزیته و تمایل کمتر به تشکیل ژل اشاره کرد. در حالی که از ویژگی صوغ‌های انشعابی مانند صوغ طبیعی عربی می‌توان افزایش کمتر ویسکوزیته و تمایل بیشتر به تشکیل ژل را بر شمرد. در این پژوهش سیال تهیه شده از صوغ طبیعی از میدان‌های نفتی ایران می‌باشد.

خواص رئولوژی از مهم‌ترین خواص سیال حفاری است که در طول عملیات حفاری نظارت و کنترل می‌شود. به خواصی از سیال که مشخصات جریانی آن را در شرایط متفاوت و گوناگون بیان می‌کند، رئولوژی سیال گفته می‌شود. گرانروی یا ویسکوزیته یکی از خواص رئولوژی مهم گل حفاری است و بیانگر مقاومتی است که سیال در برابر جاری شدن یا جابه‌جایی از خود نشان می‌دهد. معمولاً برای تشریح

<sup>۳</sup> Yield Point (YP)

<sup>۴</sup> Gel Strength (GS)

<sup>۱</sup>. Apparent viscosity (AV)

<sup>۲</sup>. Plastic viscosity (PV)

شدیدی پیدا می‌کند. همچنین با افزایش دما نیز خواص رئولوژی کاهش قابل توجهی می‌یابد. محققین با بررسی اثر pH و دما بر روی چندین نوع پلیمر مشاهده کردند که خواص رئولوژی در محیط اسیدی و نیز با افزایش دما کاهش پیدا می‌کنند. این پلیمرها در محیط بازی با pH بین ۹ تا ۱۱ دارای گرانروی پلاستیکی و نقطه واروی مناسب و نزدیک بهم می‌باشند و رئولوژی مناسبی از خود نشان می‌دهند [۳۳]. مقدار pH نمونه بتنیتی با افزایش غلظت نانوذرات افزایش و با افزایش دما کاهش می‌یابد.

نیروهای الکتروشیمیایی یا جاذبه موجود در سیال به ترتیب در حالت حرکت و سکون می‌باشند. در این تحقیق ویسکوزیته نمونه‌های سیال تهیه شده با استفاده از دستگاه ویسکومتر هشت سرعته در سرعت‌های ۳، ۶، ۱۰۰، ۳۰۰ و ۶۰۰ دور بر دقیقه اندازه‌گیری شد. با استفاده از داده‌های حاصل می‌توان خصوصیات رئولوژی سیال از جمله ویسکوزیته پلاستیک و نقطه واروی را اندازه‌گیری کرد. همچنین مقاومت یا استحکام ژله‌ای، ۱۰ ثانیه در کمترین سرعت ویسکومتر اندازه‌گیری می‌شود و سپس ۱۰ دقیقه نمونه را جهت تنهشین شدن رها می‌شود. داده‌های حاصل در کمترین سرعت ویسکومتر استحکام ژله‌ای در ۱۰ دقیقه را بیان می‌کنند. همچنین می‌توان با قرائت ویسکومتر در سرعت ۶۰۰ دور در دقیقه مقدار ویسکوزیته ظاهری را اندازه‌گیری کرد. درجه انحراف ویسکومتر یا مقاومت فنر دستگاه به‌ازای سرعت‌های مختلف با  $\theta$  نشان داده می‌شود.

ابتدا اندازه‌گیری pH، وزن گل و گرانروی در سه دمای مختلف بر روی سیال پایه محتوی بتونیت و صمغ طبیعی (بدون نانوکامپوزیت) انجام شد. نتایج حاصل به ترتیب در جدول‌های ۲ و ۳ گردآوری شده است.

درجه سانتی‌گراد	وزن سیال	pH	گرانروی	نمایه
۵۰	۰/۱	۷۰	۰/۵	۰/۵
۵۰	۰/۱	۵۰	۰/۵	۰/۵
۵۰	۰/۱	۳۰	۰/۵	۰/۵
۵۰	۰/۱	۱۰	۰/۵	۰/۵

وزن سیال و pH اندازه‌گیری شده در سه دمای ۲۳، ۵۰ و ۷۰ درجه سانتی‌گراد و سه غلظت ۰/۱، ۰/۳ و ۰/۵ گرم نانوکامپوزیت در جداول ۳ و ۴ آورده شده است. با مقایسه نتایج این نمونه‌ها با سیال‌های بدون نانوکامپوزیت، مشاهده می‌شود که اضافه کردن نانوذرات و افزایش غلظت آنها تغییر محسوسی در وزن سیال جز در سیال حاوی ۰/۵ گرم نانوذره ایجاد نمی‌کند. بررسی pH نمونه صمغی نشان می‌دهد که این پلیمر در محیط اسیدی به دلیل تخریب و تجزیه شدن، خاصیت گرانروی پلاستیک و نقطه واروی مناسبی نداشته و در کل رئولوژی در محیط اسیدی کاهش

اثر نانو کامپوزیت اکسید گرافن / کبالت... و محبوبه قائمی، صبا موسیوند، کیوان جوانمرد

جدول ۲. مشخصات سیال پایه حاوی بتونیت.

T (°C)	MW(lb/ft <sup>3</sup> )	AV	Θ <sub>3</sub>	Θ <sub>6</sub>	Θ <sub>100</sub>	Θ <sub>300</sub>	Θ <sub>600</sub>	PV	YP	pH
۲۳	۶۴,۳	۱۸,۵	۲۴	۳۲	۳۳,۶	۳۵	۳۷	۲	۳۳	۸,۹۵
۵۰	۶۴,۳	۱۷,۵	۲۲	۳۰	۳۱,۶	۳۳	۳۵	۲	۳۱	۸,۷۸
۷۰	۶۴,۳	۳۳	۱۶	۲۸	۲۷,۳	۲۸	۳۳	۲	۵	۸,۰

جدول ۳. مشخصات سیال پایه حاوی صمغ طبیعی.

T (°C)	MW(lb/ft <sup>3</sup> )	AV	Θ <sub>3</sub>	Θ <sub>6</sub>	Θ <sub>100</sub>	Θ <sub>300</sub>	Θ <sub>600</sub>	PV	YP	pH
۲۳	۷۵,۵۳	۸۵,۰	۲۳	۳۰	۹۲	۱۳۵	۱۷۱	۳۶	۸۹	۶,۲۸
۵۰	۷۵,۵۳	۶۶	۱۳	۱۹	۶۸	۱۰۳	۱۳۲	۲۹	۶۸	۶
۷۰	۷۵,۵۳	۵۵	۹	۱۳	۵۴	۸۵	۱۱۰	۲۵	۵۳	۵,۹۸

جدول ۴. وزن و pH سیال بتونیتی در حضور نانو کامپوزیت.

Temp (°C)	MW(lb/ft <sup>3</sup> )				pH			
	B	n <sub>۱</sub>	n <sub>۲</sub>	n <sub>۳</sub>	B	n <sub>۱</sub>	n <sub>۲</sub>	n <sub>۳</sub>
۲۳	۶۴,۳	۶۴,۹۸	۶۴,۹۸	۶۷,۴۲	۸,۹۵	۹	۹,۵۰	۱۰,۲۱
۵۰	۶۴,۳	۶۴,۹۸	۶۴,۹۸	۶۷,۴۲	۸,۷۸	۸,۹۹	۹,۱۵	۱۰
۷۰	۶۴,۳	۶۴,۹۸	۶۴,۹۸	۶۷,۴۲	۸,۵	۸,۸۰	۹,۲۳	۹,۸۰

جدول ۵. وزن و pH سیال صمغ طبیعی در حضور نانو کامپوزیت.

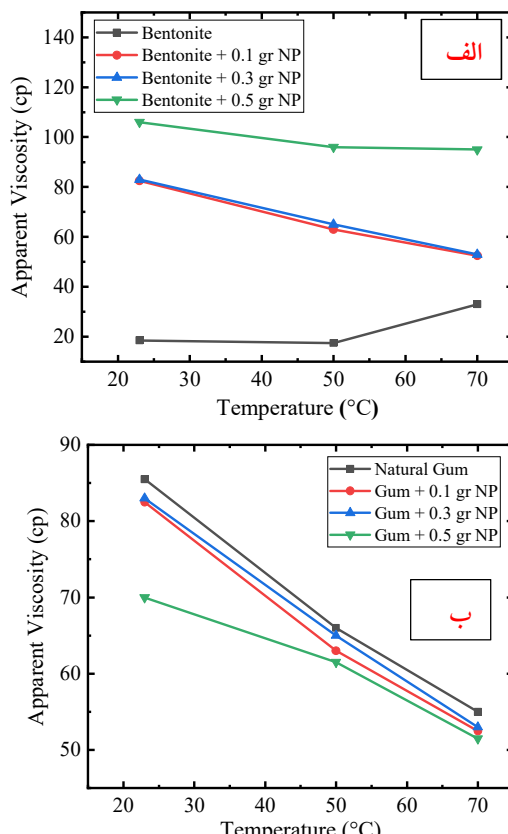
Temp (°C)	MW(lb/ft <sup>3</sup> )				pH			
	G	n <sub>۱</sub>	n <sub>۲</sub>	n <sub>۳</sub>	G	n <sub>۱</sub>	n <sub>۲</sub>	n <sub>۳</sub>
۲۳	۷۵,۵۳	۷۵,۵۳	۷۵,۵۳	۷۶,۱۶	۶,۲۸	۶,۲۷	۶,۸۵	۷
۵۰	۷۵,۵۳	۷۵,۵۳	۷۵,۵۳	۷۶,۱۶	۶	۶,۱۶	۶,۵	۶,۹۵
۷۰	۷۵,۵۳	۷۵,۵۳	۷۵,۵۳	۷۶,۱۶	۵,۹۸	۶	۶,۳	۶,۵

شکل ۶. ویسکوزیتۀ ظاهری برحسب دما برای سیالات پایه و حاوی نانوذرات با غلظت‌های مختلف محتوی الف: بتونیت و ب: صمغ طبیعی.

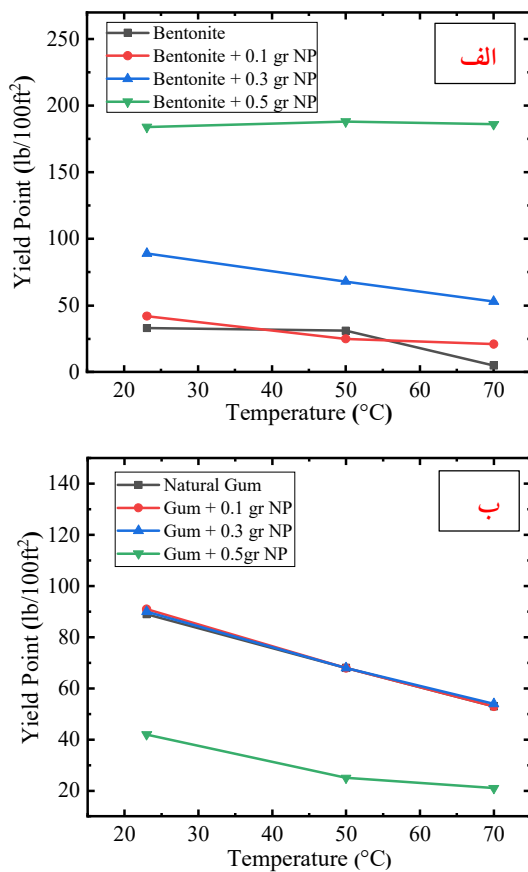
ویسکوزیتۀ پلاستیک ناشی از اصطکاک مکانیکی و تابع غلظت ذرات جامد پراکنده در گل و وزن سیال می‌باشد. در دمای اتاق با افزایش غلظت نانوذرات در نمونه‌های بتونیتی و افزایش میزان اصطکاک ناشی از ذرات جامد ویسکوزیتۀ پلاستیک افزایش پیدا می‌کند (شکل ۷الف). اما در دماهای ۵۰ و ۷۰ درجه سانتی‌گراد پایداری ویسکوزیتۀ پلاستیک در تمام نمونه‌ها مشاهده می‌شود. در نمونه حاوی  $0.3\text{ gr}$  نانوذرات افزایش دما باعث کاهش اصطکاک ناشی از ذرات جامد و در نتیجه کاهش ویسکوزیتۀ پلاستیک می‌شود. این کاهش به گونه‌ای است که ویسکوزیتۀ نمونه حاوی  $0.5\text{ gr}$  نانوذرات با ویسکوزیتۀ نمونه بتونیتی بدون نانوذره برابری می‌کند. در نمونه‌های حاوی صمغ طبیعی با افزایش دما میزان ویسکوزیتۀ پلاستیک کاهش می‌یابد (شکل ۷ب). در نمونه‌های حاوی غلظت‌های کمتر از  $0.5\text{ gr}$  نانوذرات در دمای اتاق ویسکوزیتۀ پلاستیک با افزایش مقدار ذرات افزایش و در غلظت  $0.5\text{ gr}$  نانوذره کاهش پیدا کرده است. در همه نمونه‌ها با افزایش دما به ۵۰ و ۷۰ درجه سانتی‌گراد کاهش ویسکوزیتۀ پلاستیک بهدلیل کاهش اصطکاک ناشی از ذرات جامد مشاهده می‌شود.

نقطۀ عملکرد وابسته به نیروهای الکتروشیمیایی و تجمع بار در سیال است. نقطۀ عملکرد بالا به جاروب کردن و تمیز کردن چاه کمک می‌کند. نمودار تغییرات نقطۀ عملکرد برحسب دما برای سیالات پایه حاوی بتونیت و صمغ طبیعی و سیالات مختلف حاوی نانوذرات با غلظت‌های مختلف در شکل ۸الف و ب ارائه شده است. نقطۀ عملکرد سیال بتونیتی در حضور نانوذرات و با افزایش مقدار آنها از  $0.1\text{ gr}$  تا  $0.5\text{ gr}$  بهدلیل تجمع بار و افزایش نیروهای الکتروشیمیایی در سیال نسبت به

ویسکوزیتۀ ظاهری هم به ویسکوزیتۀ پلاستیک و هم به نقطۀ عملکرد بستگی دارد. بهیان دیگر این پارامتر هم بهمیزان غلظت ذرات جامد در سیال و هم به بارها و نیروهای الکتروشیمیایی وابسته است. نمودار تغییرات ویسکوزیتۀ ظاهری برحسب دما برای سیالات پایه حاوی بتونیت و صمغ طبیعی و حاوی نانوذرات با غلظت‌های مختلف در شکل ۸الف و ب ارائه شده است. در نمونه‌های حاوی بتونیت با افزایش مقدار نانوذرات مقدار ویسکوزیتۀ ظاهری نیز افزایش پیدا می‌کند، ولی بهدلیل افزایش برهمنش بین نانوذرات با افزایش دما، مقدار ویسکوزیتۀ ظاهری روندی کاهشی را طی می‌کند. در نمونه‌های حاوی صمغ طبیعی نیز با افزایش غلظت نانوذرات تا  $0.5\text{ gr}$  و بهخصوص افزایش دما ویسکوزیتۀ ظاهری بهدلیل کاهش برهمنش نیروهای الکتروشیمیایی کاهش می‌یابد.



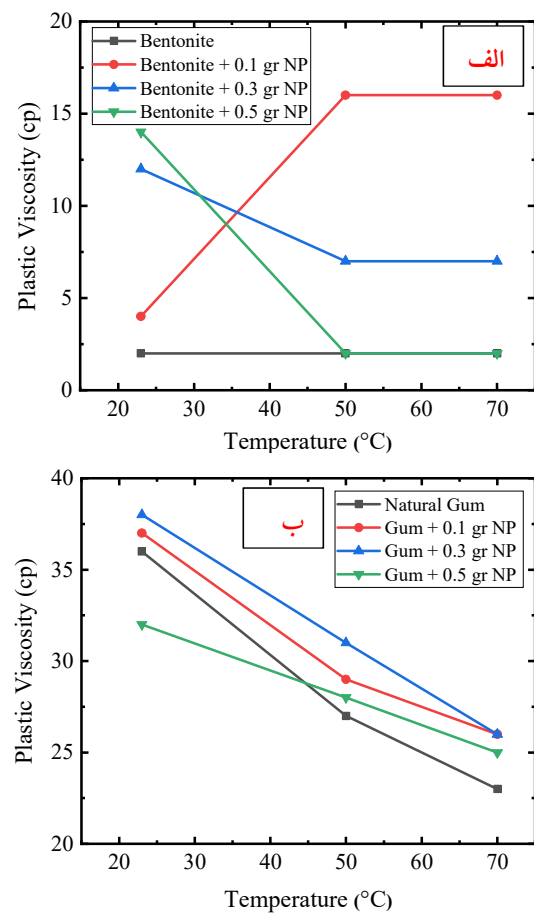
است به دلیل سخت شدن گل مشکلاتی از جمله گیر کردن لوله و متوجه ایجاد شود. به دلیل وجود بار و تجمع آن در نانوذرات اکسید گرافن/کبالت انتظار می‌رود که استحکام ژله‌ای در حضور نانوذرات بیشتر شود.



شکل ۸ نقطه عملکرد بر حسب دما برای سیالات پایه و سیالات حاوی نانوذرات با غلظت‌های مختلف محتوی الف: بتونیت و ب: صمغ طبیعی.

شکل ۹ الف و ب، به ترتیب استحکام ژله‌ای در مقاومت ژلی ۱۰ ثانیه و ۱۰ دقیقه را در مورد نمونه‌های حاوی بتونیت نشان می‌دهد. با افروزن نانوذرات و افزایش مقدار آنها از ۰/۱ به ۰/۵ گرم میزان ژل بیشتر می‌شود. در نمونه حاوی ۰/۵ گرم نانوذره نقطه عملکرد افزایش یافته ولی به دلیل افزایش استحکام ژله‌ای، می‌تواند فشار زیادی به پمپ وارد کرده و مشکلات زیادی ایجاد نماید. علاوه بر این تغییرات دما در میزان ژل تأثیر

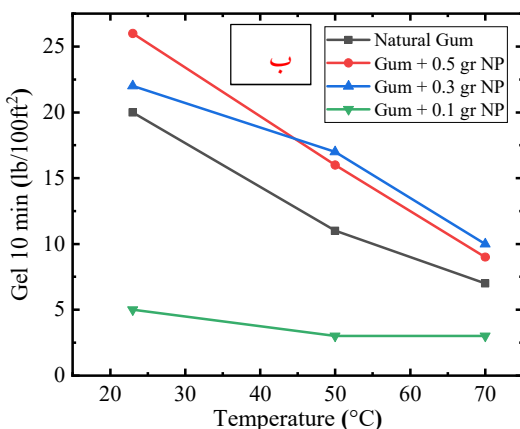
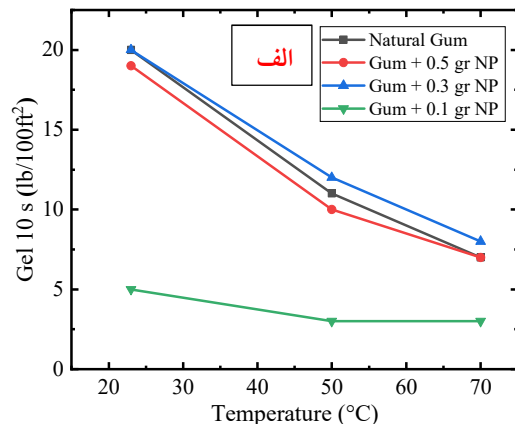
سیال پایه افزایش پیدا کرده و با افزایش دما در همه نمونه‌ها روند کاهشی را دنبال می‌کند. در نمونه صمغ طبیعی نقطه عملکرد در غلظت ۰/۱ و ۰/۳ گرم در دمای محیط تقریباً معادل با سیال پایه و در غلظت ۰/۵ گرم کاهش پیدا می‌کند. با افزایش دما در همه نمونه‌ها به دلیل عدم تجمع بار و کاهش نیروهای الکتروشیمیایی، کاهش نقطه عملکرد مشاهده می‌شود.



شکل ۷. ویسکوزیته پلاستیک بر حسب دما برای سیالات پایه و سیالات حاوی نانوذرات با غلظت‌های مختلف محتوی الف: بتونیت و ب: صمغ طبیعی.

استحکام ژله‌ای مانند نقطه عملکرد به نیروهای الکتروشیمیایی و تجمع بار بستگی دارد و به قلمه‌های متوجه اجزا می‌دهد تا به هنگام توقف ناگهانی گردش گل، معلق شده و از ریزش چاه ممانعت به عمل آید. اگر ژله‌ای شدن به اندازهٔ خیلی زیادی افزایش یابد ممکن

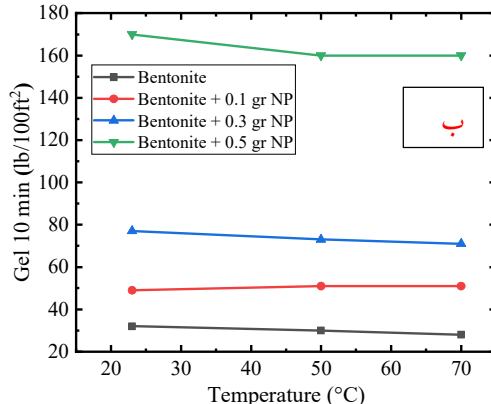
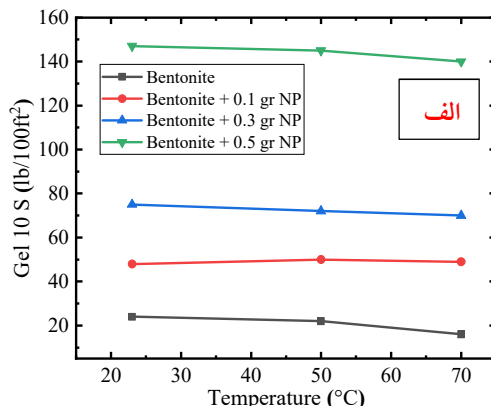
همچنین افزایش دما باعث کاهش استحکام ژله‌ای در سیال پایه و همه نمونه‌های حاوی نانوذرات شده است.



شکل ۱۰. استحکام ژله‌ای در مقاومت ژلی الف: ۱۰ ثانیه و ب: ۱۰ دقیقه برحسب دما برای سیالات پایه و سیالات حاوی صمغ طبیعی و نانوذرات با غلظت‌های مختلف.

در جدول ۶ نتایج حاصل از پژوهش‌های انجام شده توسط گروه‌های تحقیقاتی دیگر، بهمنظور مقایسه نتایج با تحقیق حاضر، آورده شده است. نتایج نشان می‌دهد که اکثر نانومواد بررسی شده، باعث بهبود و افزایش ویسکوزیته پلاستیک، نقطه واروی و استحکام ژله‌ای شده‌اند.

چندانی ندارد. با توجه به داده‌ها اضافه کردن نانوکامپوزیت اکسیدگرافن/کبالت در سیال حفاری حاوی بتونیت، سیستم را برای ایجاد ساختار ژلی سریع‌تر از سیال پایه تسهیل می‌کند.



شکل ۹. استحکام ژله‌ای در مقاومت ژلی الف: ۱۰ ثانیه و ب: ۱۰ دقیقه برحسب دما برای سیالات پایه و سیالات حاوی بتونیت و نانوذرات با غلظت‌های مختلف.

شکل ۱۰ الف و ب، بهترتیب استحکام ژله‌ای در مقاومت ژلی ۱۰ ثانیه و ۱۰ دقیقه را در نمونه‌های محتوی صمغ طبیعی نشان می‌دهند. افزودن نانوکامپوزیت اکسیدگرافن/کبالت به سیال با مقدار ۰/۱ و ۰/۳ گرم تغییرات اندکی در استحکام ژله‌ای نمونه‌ها ایجاد می‌کند، اما با افزایش مقدار نانوذرات به ۰/۵ گرم روند تغییرات استحکام ژله‌ای بهشدت کاهشی می‌باشد.

جدول ۶. کارهای تحقیقاتی انجام شده توسط گروههای تحقیقاتی دیگر.

نوع نانو ماده	پارامترهای اصلاح شده	مرجع
Palygorskite	Plastic viscosity& yield point & Gel strength	[34]
نانو لوله‌های کربنی اکسید روی	Plastic viscosity& yield point	[35]
نانو گرافیت	viscosity	[36]
Sepiolite	Plastic viscosity& yield point	[37]
Nanocomposite of ZnO, montmorillonite and palygorskite	Plastic viscosity& yield point	[38]
Polyacrylamide and nanoclay& Polyacrylamidegraftedpolyethylene glycol and SiO <sub>2</sub> nanoparticles	Plastic viscosity& yield point & Gel strength	[39]

### نتیجه‌گیری

افزودن نانوذرات pH و وزن سیال با استفاده از ترازوی گل اندازه‌گیری شد، سپس نقطه عملکرد، ویسکوزیته پلاستیک، ویسکوزیته ظاهری و استحکام ژله‌ای دو سیال حاوی بتنوئیت و صمغ طبیعی با استفاده از دستگاه ویسکومتر در سرعت‌های برشی ۳، ۶، ۱۰۰، ۳۰۰ و ۶۰۰ دور بر دقیقه و در سه دمای ۵۰، ۲۳ و ۷۰ درجه سانتی‌گراد مورد بررسی قرار گرفت. در نمونه بتنوئیتی با افزودن نانوذرات pH سیال افزایش پیدا کرده و در محدوده ۹ تا ۱۰/۵ می‌باشد. در نمونه صمغ طبیعی افزایش غلظت نانوذرات باعث افزایش pH تا ۷ شد، اما با توجه به اینکه pH سیال پایه پایین می‌باشد تغییر مطلوبی مشاهده نشد. افزایش دما از ۲۳°C تا ۷۰°C باعث کاهش pH سیال پایه حاوی بتنوئیت و صمغ طبیعی به ترتیب تا ۸/۵ و ۶ شد. ویسکوزیته ظاهری و ویسکوزیته پلاستیک در نمونه بتنوئیتی در دمای ۲۳°C با افزایش غلظت نانوذرات به ترتیب تا ۱۰۵cp و نیز ۱۰۵cp افزایش می‌یابد. نقطه عملکرد سیال بتنوئیتی در حضور نانوذرات و با افزایش مقدار آنها از ۰/۱ تا ۰/۵ گرم به دلیل تجمع بار و افزایش نیروهای الکتروشیمیایی در سیال نسبت به سیال پایه در دمای ۲۳°C از حدود ۳lb/100ft<sup>2</sup> تا ۱۴lb/100ft<sup>2</sup> افزایش پیدا کرده و با افزایش دما در همه نمونه‌ها روند کاهشی را دنبال می‌کند. در نمونه صمغ طبیعی نقطه عملکرد در غلظت ۰/۱ و ۰/۳ گرم در دمای محیط تقریباً معادل با سیال پایه ۰/۱ و ۰/۵ گرم در غلظت ۹۱lb/100ft<sup>2</sup> و ۴۲lb/100ft<sup>2</sup> کاهش پیدا می‌کند. با افزودن نانوذرات افزایش استحکام ژله‌ای در مقاومت ژله‌ای ۱۰ دقیقه در دمای ۲۲°C تا ۱۷۰lb/100ft<sup>2</sup> و ۲۶lb/100ft<sup>2</sup> به ترتیب در حضور ۰/۱ گرم بتنوئیت و ۰/۵ گرم صمغ طبیعی مشاهده می‌شود و تغییرات دما تأثیر چندانی در میزان ژل ندارد. اگر چه افزایش دما باعث کاهش ویسکوزیته می‌شود، اما با مقایسه نمونه‌های بتنوئیتی حاوی نانوذره

در این پژوهش نانو کامپوزیت اکسید گرافن/کبالت با روش الکترواکسیداسیون در یک سلول الکتروشیمیایی حاوی محلول الکترولیت ۱Molar سولفات کبالت و یک قطعه ورقه گرافیت به عنوان آند و ورقه نیکل در نقش کاتد، تحت اعمال ولتاژ ۲۳ ولت به مدت ۹۰ دقیقه تولید و مشخصه‌یابی ساختاری و مغناطیسی انجام شد. الگوی XRD تشکیل ساختار بلوری هگزاگونال کبالت را تأیید کرد. تصاویر SEM نشان داد که نانوذرات کبالت با شکل پولکی و اندازه میانگین برابر با ۱۰۰انانومتر بر روی صفحات اکسید گرافن با ساختاری دو بعدی و چند لایه و ضخامت حدود ۲۰۰انانومتر قرار گرفته‌اند. مغناطیش اشباع نمونه ۱۶۷,۰۴emu/g و میدان واحد رندگی آن معادل مغناطیسی ۹,۹۴emu/g می‌باشد. در مرحله بعدی این ۱۴۲,۵Oe اندازه‌گیری شد. در پژوهش اثر نانو کامپوزیت اکسید گرافن/کبالت بر خواص رئولوژی گل حفاری بررسی شد. ابتدا با

loss control characteristic additives in water-based drilling fluid, *Journal of Petroleum Science and Engineering* **205** (2021) 108912.  
<https://doi.org/10.1016/j.petrol.2021.10892>

[4] A. Katende, N.V. Boyou, I. Ismail, D.Z. Chung, F. Sagala, N. Hussein, et al., Improving the performance of oil based mud and water based mud in a high temperature hole using nanosilica nanoparticles, *Colloids and Surfaces A: Physicochemical and Engineering Aspects* **577** (2019) 645-73.  
<https://doi.org/10.1016/j.colsurfa.2019.05.088>

[5] E. Leusheva, V. Morenov, Effect of Temperature Conditions in Arctic Offshore Oil Fields on the Rheological Properties of Various Based Drilling Muds, *Energies* **15** 15 (2022) 5750.  
<https://doi.org/10.3390/en15155750>

[6] L. Fu, K. Liao, B. Tang, L. Jiang, W. Huang, Applications of graphene and its derivatives in the upstream oil and gas industry: A systematic review, *Nanomaterials* **10** 6 (2020) 1013.  
<https://doi.org/10.3390/nano10061013>

[7] N. Alimohammadi, S.R. Shadizadeh, I. Kazeminezhad, Removal of cadmium from drilling fluid using nanoadsorbent, *Fuel* **111** (2013) 505-9.  
<https://doi.org/10.1016/j.fuel.2013.03.023>

[8] R. Ikram, B. Mohamed Jan, J. Vejpravova, M.I. Choudhary, Z. Zaman Chowdhury, Recent advances of graphene-derived nanocomposites in water-based drilling fluids, *Nanomaterials* **10** 10 (2020) 2004.  
<https://doi.org/10.3390/nano10102004>

[9] M.A.A. Alvi, M. Belayneh, S. Bandyopadhyay, M.W. Minde, Effect of iron oxide nanoparticles on the properties of water-based drilling fluids, *Energies* **13** 24 (2020) 6718.  
<https://doi.org/10.3390/en13246718>

[10] A. Ettehadi, C. Ülker, G. Altun, Nonlinear viscoelastic rheological behavior

با نمونه بتونیتی بدون نانوذره مشاهده می‌شود که نمونه‌های حاوی نانوذرات از ویسکوزیته بالاتری نسبت به سیال پایه برخوردارند. در واقع اضافه کردن نانوکامپوزیت اکسیدگرافن/کبالت باعث بهبود خواص رئولوژی این سیال شده است. می‌توان نتیجه گرفت که این نانوذرات در سیال بتونیتی مانند یک ویسکوزیفایر عمل کرده و باعث افزایش ویسکوزیته در این سیال شده‌اند. در نمونه‌های حاوی صمغ طبیعی ویسکوزیته ظاهری، ویسکوزیته پلاستیک و نقطه عملکرد با افزودن نانوذرات در غلظت‌های  $0/1$  و  $0/3$  در مقایسه با نمونه‌های بتونیتی تغییرات محسوسی پیدا نکرد. اما در نمونه حاوی  $0/5$  گرم نانوذره کاهش خواص ذکر شده مشاهده شد. در واقع نانوکامپوزیت اکسید گرافن/کبالت در نمونه صمغ طبیعی باعث بهبود خواص رئولوژی نشده است و در غلظت‌های بالا می‌تواند نقش یک کاهش دهنده ویسکوزیته یا تینر را ایفا کند.

## مرجع‌ها

[1] J. Njuguna, S. Siddique, L.B. Kwroffie, S. Piromrat, K. Addae-Afoakwa, U. Ekeh-Adegbotolu, G. Oluyemi, K. Yates, A.K. Mishra, L. Moller, The fate of waste drilling fluids from oil & gas industry activities in the exploration and production operations, *Waste Management* **139** (2022) 362-380.  
<https://doi.org/10.1016/j.wasman.2021.12.025>

[2] S.R. Smith, R. Rafati, A.S. Haddad, A. Cooper, H. Hamidi, Application of aluminium oxide nanoparticles to enhance rheological and filtration properties of water based muds at HPHT conditions, *Colloids and Surfaces A: Physicochemical and Engineering Aspects* **537** (2018) 361-71.  
<https://doi.org/10.1016/j.colsurfa.2017.10.050>

[3] F. Kamali, R. Saboori, S. Sabbaghi,  $\text{Fe}_3\text{O}_4$ -CMC nanocomposite performance evaluation as rheology modifier and fluid

- drilling fluids at elevated temperature conditions, *Journal of Petroleum Science and Engineering* **146** (2016) 1142-57. <https://doi.org/10.1016/j.petrol.2016.08.014>
- [17] J.G. Xu, Z.S. Qiu, X. Zhao, H.Y. Zhong, G.R. Li, W.A. Huang, Synthesis and characterization of shale stabilizer based on polyethylene glycol grafted nano-silica composite in waterbased drilling fluids, *Journal of Petroleum Science and Engineering* **163** (2018) 371-7. <https://doi.org/10.1016/j.petrol.2018.01.007>
- [18] H. Mao, Z. Qiu, Z. Shen, W. Huang, H. Zhong, W. Dai, Novel hydrophobic associated polymer based nano-silica composite with coreeshell structure for intelligent drilling fluid under ultra-high temperature and ultra-high pressure, *journal of Progress in Natural Science* **25** 1 (2015) 90-3. <https://doi.org/10.1016/j.pnsc.2015.01.013>
- [19] S. Mosivand, I. Kazeminezhad, Magnetite nanoparticles functionalized with polypyrrole by pulsed sono-electrococrystallization and their applications for water treatment, *Journal of Materials Science: Materials in Electronics* **29** (2018) 12466–12476. [10.1007/s10854-018-9365-9](https://doi.org/10.1007/s10854-018-9365-9)
- [20] S. Mosivand, I. Kazeminezhad, The Effect of Current on Structural and Magnetic Properties of Electrococrystallized Magnetite Nanoparticles in The Presence of Ultrasound Waves, *Journal of Physics on Many-body Systems* **9** (2015) 41-51. [doi:10.22055/jrmbs.2015.11385](https://doi.org/10.22055/jrmbs.2015.11385)
- [21] S. Mosivand, I. Kazeminezhad, Synthesis of Electrococrystallized Cobalt Ferrite Nanopowders by Tuning the Cobalt Salt Concentration, *RSC Advances* **5** (2015) 14796-14803. [doi:10.1039/c4ra17162d](https://doi.org/10.1039/c4ra17162d)
- [22] S. Mosivand, I. Kazeminezhad, Functionalization and Characterization of Electrococrystallized Iron Oxide Nanoparticles in the Presence of  $\beta$ -cyclodextrine, *CrystEngComm* **18** (2016) 417-426. [doi:10.1039/c5ce01789k](https://doi.org/10.1039/c5ce01789k)
- of bentonite and sepiolite drilling fluids under large amplitude oscillatory shear, *Journal of Petroleum Science and Engineering* **208** (2022) 109210. <https://doi.org/10.1016/j.petrol.2021.10920>
- [11] F. Farahbod, Experimental investigation of thermo-physical properties of drilling fluid integrated with nanoparticles: Improvement of drilling operation performance, *Powder Technology* **384** (2021) 125-131. <https://doi.org/10.1016/j.powtec.2021.02.02>
- [12] H. Movahedi, S. Jamshidi, M. Hajipour, New Insight into the Filtration Control of Drilling Fluids Using a Graphene-Based Nanocomposite under Static and Dynamic Conditions, *ACS Sustainable Chemistry & Engineering* **9** (2021) 12844–12857. <https://doi.org/10.1021/acssuschemeng.1c03563>
- [13] H. Mao, Z. Qiu, Z. Shen, W. Huang, Hydrophobic associated polymer based silica nanoparticles composite with coreeshell structure as a filtrate reducer for drilling fluid at ultra-high temperature, *Journal of Petroleum Science and Engineering* **129** (2015) 1-14. <https://doi.org/10.1016/j.petrol.2015.03.003>
- [14] G. Cheraghian, Nanoparticles in drilling fluid: A review of the state-of-the-art, *Journal of materials research and technology* **13** (2021) 737-753. <https://doi.org/10.1016/J.JMRT.2021.04.089>
- [15] X. Huang, J. Sun, K. Lv, J. Liu, H. Shen, F. Zhang, Application of core-shell structural acrylic resin/nano-SiO<sub>2</sub> composite inwater based drilling fluid to plug shale pores, *Journal of Natural Gas Science and Engineering* **55** (2018) 418-25. <https://doi.org/10.1016/j.jngse.2018.05.023>
- [16] A. Aftab, A.R. Ismail, S. Khokhar, Z.H. Ibupoto, Novel zinc oxide nanoparticles deposited acrylamide composite used for enhancing the performance of water-based

- electrical properties, *Ceramics International* **48** (2022) 12240–12254. <https://doi.org/10.1016/j.ceramint.2022.01.086>
- [30] M. Kooti, A. Naghdi Sedeh, Kh Gheisari, A. Figuerola, Synthesis, characterization, and performance of nanocomposites containing reduced graphene oxide, polyaniline, and cobalt ferrite, *Physica B* **612** (2021) 412974. [https://doi.org/10.1016/j.physb.2021.412974.](https://doi.org/10.1016/j.physb.2021.412974)
- [31] G.Z. Papageorgiou, Z. Terzopoulou, D. Bikaris, K.S. Triantafyllidis, E. Diamanti, D. Gournis, P. Klonos, E. Giannoulidis, P. Pissis, Evaluation of the formed interface in biodegradable poly(L-lactic acid)/graphene oxide nanocomposites and the effect of nanofillers on mechanical and thermal properties, *Thermochimica Acta* **597** (2014) 48–57. [doi:10.1016/j.tca.2014.10.007](https://doi.org/10.1016/j.tca.2014.10.007).
- [32] S. Tanwar, D. Mathur, Magnetite-graphene oxide nanocomposites: facile synthesis and characterization of optical and magnetic property, *Materials Today: Proceedings* **30** (2020) 17–22. <https://doi.org/10.1016/j.matpr.2020.03.745>
- [33] R. Nickdel Teymoori, M.K. Ghasem Alaskari, Effects of Salinity, pH and Temperature on CMC Polymer and XC Polymer Performance (TECHNICAL NOTE), *IJE Transactions B: Applications* **20** ۳ (2007) 283. [https://www.ije.ir/article\\_71677.html](https://www.ije.ir/article_71677.html)
- [34] J. Abdo, M. Haneef, Clay nanoparticles modified drilling fluids for drilling of deep hydrocarbon wells, *Applied Clay Science* **86** (2013) 76–82. <https://doi.org/10.1016/j.clay.2013.10.017>
- [35] S.S. Hassani, A. Amrollahi, A. Rashidi, M. Soleiman, S. Rayatdoost, The effect of nanoparticles on the heat transfer properties of drilling fluids, *Journal of Petroleum Science and Engineering* **146** (2016) 183–[23] S. Mosivand, L.M.A. Monzon, K. Ackland, I.Kazeminezhad, J.M.D. Coey, Structural and Magnetic Properties of Sonoeclectrocristallized Magnetite Nanoparticles, *Journal of Physics D: Applied Physics* **47** (2014) 1–13. [doi:10.1088/0022-3727/47/5/055001](https://doi.org/10.1088/0022-3727/47/5/055001)
- [24] S. Mosivand, L.M.A. Monzon, I. Kazeminezhad, J.M.D. Coey, The Effect of Organics on the Structure and Magnetization of Electro-synthesised Magnetite Nanoparticles, *Journal of Nanoparticle Research* **15** (2013) 1–11. [doi:10.1007/s11051-013-1795-y](https://doi.org/10.1007/s11051-013-1795-y)
- [25] S. Mosivand, L.M.A. Monzon, I. Kazeminezhad, J.M.D. Coey, Influence of Growth Conditions on Magnetic and Structural Properties of Magnetite Nanoparticles Electrocristallized in the Presence of Organic Molecules, *International Journal of Molecular Sciences* **14** (2013) 10383–10396. [doi:10.3390/ijms140510383](https://doi.org/10.3390/ijms140510383)
- [26] S. Piri Fathabad, S. Mosivand, I. Kazeminezhad, Synthesis and Characterization of Electro-Crystallized Alumina Nanoparticles and Investigation of Their Application in Removal of Cobalt and Cadmium from Seimareh and Karoon Rivers in Iran, *The Journal of Electronic Materials* **47** (2018) 7034–7052. [doi: 10.1007/s11664-018-6630-x](https://doi.org/10.1007/s11664-018-6630-x)
- [27] S. Mosivand, Effect of mineral additives on magnetite nanoparticles prepared in an electrolytic cell, *Advanced Powder Technology* **32** (2021) 432–444. <https://doi.org/10.1016/j.apt.2020.12.020>
- [28] K. Garavand, S. Mosivand, Electro-crystallized NiO nanoparticles for river-water treatment applications, *Applied Physics A* **127** (2021) 73. <https://doi.org/10.1007/s00339-020-04185-y>
- [29] S. Iranshahi, S. Mosivand, Cobalt/graphene oxide nanocomposites: Electro-synthesis, structural, magnetic, and

- [38] A. Nizamani, A.R. Ismail, R. Junin, A. Dayo, A. Tunio, Z. Ibupoto, M. Sidek, Synthesis of titaniabentonite nano composite and its applications in water-based drilling fluids, *Chemical Engineering Transactions* **56** (2017) 949-954. <https://doi.org/10.3303/CET1756159>
- [39] R. Jain, V. Mahto, V. Sharma, Evaluation of polyacrylamide-grafted-polyethylene glycol/silica nanocomposite as potential additive in water based drilling mud for reactive shale formation, *Journal of Natural Gas Science and Engineering* **26** (2015) 526-537. <https://doi.org/10.1016/j.jngse.2015.06.051>
190.  
<https://doi.org/10.1016/j.petrol.2016.04.009>
- [36] J. Nasser, A. Jesil, T. Mohiuddin, M. Al Ruqeshi, G. Devi, S. Mohataram, Experimental investigation of drilling fluid performance as nanoparticles, *World Journal of Nano Science and Engineering* **3** (2013) 57-61. <https://doi.org/10.4236/wjnse.2013.33008>
- [37] A.-M. Needaa, P. Pourafshary, A.-H. Hamoud, A. Jamil, Controlling bentonite-based drilling mud properties using sepiolite nanoparticles, *Petroleum Exploration and Development* **43** 4 (2016) 717-723. [https://doi.org/10.1016/S1876-3804\(16\)30084-2](https://doi.org/10.1016/S1876-3804(16)30084-2)